https://revista.infor.cl



### **ARTÍCULO**

# Caracterización de ADN de *Leucocoryne sp* de zonas áridas: variaciones por tejidos y especies.

Jorge González Campos<sup>1</sup>; José Andrés Hernández Cartes<sup>2</sup>, Ma Yaojia<sup>4</sup>, Andrés Quintana Garrido<sup>3</sup>, Rodrigo Córdova Molina<sup>3</sup>, Ronald Vidal Toro<sup>3</sup>, Tamara Vera Castro<sup>1</sup>

- <sup>1</sup> Instituto Forestal, sede Biobío. Concepción, Chile. jgonzalez@infor.cl
- <sup>2</sup> Instituto Forestal, sede Diaguitas. La Serena, Chile. jhernandez@infor.cl
- <sup>3</sup> Subgerencia de Medio Ambiente y Comunidades, Chilquinta Transmisión S.A. aquintag@chilquintatx.cl
- <sup>4</sup> Gerencia General, Chilquinta Transmisión S.A. mayaojia@chilquinta.cl

DOI: https://doi.org/10.52904/0718-4646.2025.646

Recibido: 31.07.2025; Aceptado: 21.10.2025.

#### **RESUMEN**

El estudio explora la extracción de ADN de alto peso molecular desde tejidos de cinco especies de *Leucocoryne*, un género endémico de Chile. Utilizando el método basado en fluorescencia, se evaluó la cantidad y calidad del ADN extraído de flores, hojas, raíces, tallos y bulbos. Los resultados destacan que las flores y los bulbos presentan las mayores concentraciones, aunque con variabilidad significativa entre especies y tejidos. La calidad del ADN fue más consistente en hojas y bulbos, mientras que los tallos presentaron las peores condiciones para aplicaciones de secuenciación de lecturas largas. Este trabajo ofrece una base valiosa para futuros estudios genómicos en *Leucocoryne* y en otras plantas de características similares.

Palabras clave: Leucocoryne, Extracción de ADN, Especies endémicas, Desierto Florido, Secuenciación.

#### **SUMMARY**

This study investigates the extraction of high molecular weight DNA from various tissues of five species of the *Leucocoryne* genus, a group of endemic Chilean plants. Using fluorescence method, the quantity and quality of DNA extracted from flowers, leaves, roots, stems, and bulbs were evaluated. Results reveal that flowers and bulbs exhibit the highest DNA concentrations, albeit with significant variability among species and tissues. DNA quality was more consistent in leaves and bulbs, whereas stems showed the poorest conditions for long-read sequencing applications. This work provides a valuable foundation for future genomic studies on *Leucocoryne* and other plants with similar characteristics.

Key words: Leucocoryne, DNA Extraction, Endemic Species, Blooming Desert, Sequencing

#### INTRODUCCIÓN

La información molecular ha revolucionado la toma de decisiones en los campos de la biotecnología, biología celular, genética, microbiología y biología molecular (Milavec et al., 2021). Específicamente en la biología vegetal, los avances en secuenciación de lecturas largas de ácidos nucleicos tales como PACBIO (www.pacb.com) puede generar lecturas de hasta 25 Kbp y Oxford Nanopore Technologies (www.nanoporetech.com), con sorprendentes 4,2 Mbp (Russo et al., 2022). Esto junto con el desarrollo de robustos algoritmos bioinformáticos han logrado una considerable disminución de los costos, dando lugar a un aumento progresivo en la secuenciación y ensamble de genomas completos de especies modelos y no modelos en todo el mundo (Espinosa et al., 2024).



En las áreas de conservación de recursos vegetales, la información molecular permite en la actualidad monitorear la estructura y diversidad genética de las poblaciones. Las variantes estructurales (SVs, por sus siglas en *inglés*), representan un nuevo tipo de variación genética que explora los cambios en la estructura del ADN, y como estos pueden influir directamente en la función del genoma, y en la diversidad fenotípica (Saxena *et al.*, 2014). Varios autores sostienen que las SVs poseen mayores polimorfismos incluso que variaciones nucleotídicas como los SNPs. Accediendo a la comprensión de preguntas evolutivas complejas (Saxena *et al.*, 2014; Yuan *et al.*, 2021; Jin *et al.*, 2023)

Sin embargo, un paso crucial previo a cualquier proyecto de secuenciación, independientemente de la plataforma utilizada, es la obtención de ADN de alto peso molecular (Milavec *et al.*, 2021). Específicamente, la secuenciación de lecturas largas que deben cumplir con dos criterios importantes: (i) pureza y cantidad de ADN; y (ii) integridad del ADN (Russo *et al.*, 2022).

En plantas, este proceso puede convertirse en un desafío, debido a la pared celular. Su composición basada predominantemente en polisacáridos, como la celulosa, hemicelulosa y pectinas, hacen que la pared celular sea rígida y difícil de romper (Cosgrove 2024). Acceder a los organelos (núcleo, cloroplastos y ribosomas), donde se encuentran los ácidos nucleicos, requiere una destrucción mecánica, la cual muchas veces se traduce en una degradación del ADN (Russo *et al.*, 2022).

Un grupo de plantas desafiantes, son aquellas presentes en las zonas áridas y semi áridas, como las cactáceas y geófitas, dado las altas concentraciones de polisacáridos y metabolitos secundarios propias de estas especies, los protocolos tradicionales han fallado en la extracción debido a los mucílagos presentes en los tejidos lo que aumenta la viscosidad impidiendo los pasos de purificación (Mondragon-Jacobo *et al.*, 2000).

En Chile, un género de plantas endémicas presentes en el fenómeno del desierto florido es *Leucocoryne*, las 14 especies pertenecientes se distribuyen desde el desierto de Atacama hasta el sur húmedo de Chile (Rodríguez *et al.*, 2018). Presentan una alta variabilidad fenotípica atribuido a su autoincompatibilidad (Mansur *et al.*, 2004) y su capacidad para producir híbridos (Salas y Mansur, 2004).

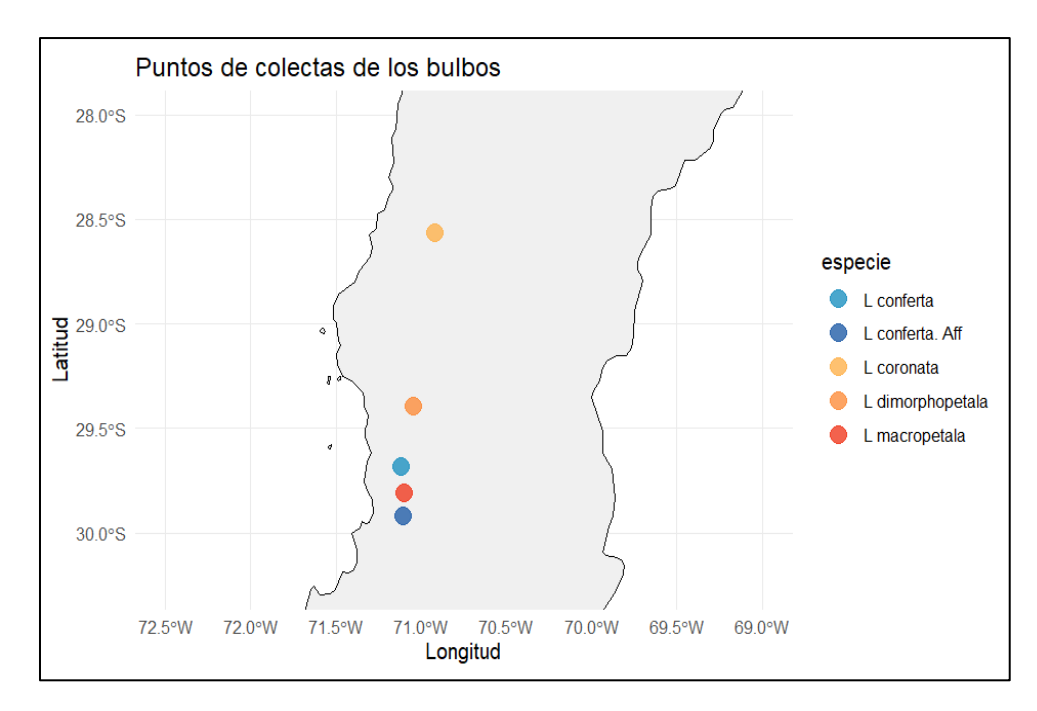
La variabilidad genética interespecífica ha sido evaluada mediante métodos citológicos (Jara – Arancio., 2012, Sassone *et al.*, 2018). Estudio para dilucidar incertidumbres taxonómicas y reconstruir arboles filogenéticos también han sido conducidos amplificando las regiones ITS y *trnG*, *rbcL* y *matK* (Jara – Arancio *et al.*, 2014; Souza *et al.*, 2016; Contreras *et al.*, 2020). Estudios genómicos y transcriptómicos de estas especies son escasos, a la fecha de este artículo no se reportan genomas en el Centro Nacional para la Información Biotecnológica (NCBI).

En este artículo, se analiza y compara las concentraciones y calidades de ADN extraído a partir de tejidos de diferentes órganos (flor, bulbo, hojas, raíces y tallo) en especies del género *Leucocoryne*, evaluándose su factibilidad para posteriores estudios de secuenciación. Este es un aporte primario para la aplicación de propuestas de genómica para el género *Leucocoryne*.

## **MATERIAL Y MÉTODO**

#### Muestreo del Material

El material vegetal (bulbos) se recolectó en la región de Coquimbo y Atacama (**Figura 1**) y se trasladó al laboratorio de la sede Diaguitas del Instituto Forestal en La Serena para su conservación y almacenamiento. Transcurrido 6 meses desde su colecta, los bulbos fueron establecidos en maceteros con tierra de hojas para su emergencia e identificación taxonómica de las especies.



**Figura 1.** Puntos de colecta de bulbos de especies de *Leucocoryne* en las regiones de Coquimbo y Atacama.

## Manejo y Almacenamiento del Material Vegetal

El material se lavó mediante enjuagues sucesivos a grifo abierto utilizando detergentes comerciales y después enjuagado con agua destilada. Una vez higienizado, el material fue almacenado en ultrafreezer a -80 °C. La extracción de ADN se realizó en el Laboratorio de Genómica Forestal de la sede Biobío del Instituto Forestal, en la ciudad de Concepción. Para este efecto, usando tijeras y pinzas estériles, se extrajo porciones de tejido de aproximadamente 150 mg de cada órgano, las que fueron molidas en mortero de porcelana usando nitrógeno líquido. Las muestras procesadas fueron transferidas a tubos eppendorf de 2 ml.

## Extracción de ADN

La extracción de ADN se realizó mediante el kit comercial "DNeasy Plant mini kit" (QIAGEN ®), basado en la purificación de ácidos nucleicos mediante el uso de soluciones de lavado y membranas (o columnas) de origen inorgánico junto a periodos de centrifugación. Todas las extracciones se llevaron a cabo bajo cabina de flujo laminar para evitar contaminación.

El kit utilizado contempló el uso de ARNasa, buffers AP1 y AP2 junto a periodos de incubación en termobloque a 65° C por 20 minutos y hielo por 5 minutos respectivamente. La eliminación de contaminantes se realizó mediante el uso de columnas inorgánicas junto con los buffers P3, AW1 y AW2. Luego de varios ciclos de centrifugación, el ADN quedó retenido en la matriz inorgánica, mientras que los contaminantes fueron descartados en forma de solución acuosa. Se agregó buffer AE y se dejó incubar por 5 minutos a temperatura ambiente (dependiendo del objetivo de la extracción, se adicionó 50 μl o 100 μl). Proceso que se realiza por duplicado.

#### Cuantificación de ADN

Se utilizó un fluorímetro Thermo Scientific™ Qubit ®, el cual permite detectar fluorocromos que se intercalan de forma específica a las moléculas objetivo (ADN, ARN, proteínas). El kit utilizado para la cuantificación de ADN fue Qubit dsDNA HS (*high sensitivity*) Assay Kit, con volumen de trabajo de:

- Solución de trabajo: 190 198 µl.
- ADN: 2 10 μl.

#### Cualificación de ADN

La integridad del ADN fue determinada mediante el uso de electroforesis en gel de agarosa bajo las siguientes condiciones; concentración de agarosa del 1,2%, voltaje de 120V y un tiempo de corrida de 20 minutos. Marcador molecular (DL15.000 DNA Marker).

Se generó un índice de calidad (QC) que integra, para cada muestra, los resultados de cuantificación y cualificación, junto con la verificación de las bibliotecas genómicas, incluyendo tamaño, ausencia de dímeros, concentración/molaridad, análisis realizado por la empresa CD Genomics (New York, USA) mediante prestación de servicios.

#### Análisis de Datos

Los análisis de datos y la visualización se realizaron utilizando el software R versión 4.3.2. Se llevaron a cabo cálculos de medias y desviaciones estándar para diferentes grupos de datos, así como comparaciones entre diversos tejidos y especies. Dado que solo se cuenta con 3 a 4 muestras por tejido y por especie, se aplicó un test de Kruskal Wallis ( $\alpha$  = 0,05) para determinar las diferencias en las medianas de los valores de concentración obtenido, ya que las pruebas paramétricas como la ANOVA carecen de potencia estadística para esta cantidad de muestras.

#### **RESULTADOS**

## Cantidad de ADN

Los resultados de las cuantificaciones de ADN obtenidos se resumen en el **Cuadro 1**. En general, el tejido con la mayor concentración de ADN ( $ng/\mu L$ ) fue la flor, destacándose las especies *L. coronata* con 88,4 ± 10,16  $ng/\mu L$  y *L. appendiculata* con 64,3 ± 16,63  $ng/\mu L$ . En contraste, *L. ixioides* presentó la menor concentración en este tejido, con 55,25 ± 18,60  $ng/\mu L$ .

En el caso de los bulbos, L. coronata registró la concentración más alta con 76,24  $\pm$  30,22 ng/ $\mu$ L, seguida por L. appendiculata con 45,03  $\pm$  27,92 ng/ $\mu$ L. Las demás especies mostraron valores inferiores, destacando L. macropetala con 45,43  $\pm$  20,36 ng/ $\mu$ L.

Las hojas presentaron concentraciones moderadas, con *L. ixioides* alcanzando 61,33  $\pm$  18,16 ng/ $\mu$ L y *L. dimorphopetala* 60,70  $\pm$  13,86 ng/ $\mu$ L. Finalmente, las raíces y tallos mostraron las concentraciones más bajas, con *L. macropetala* registrando 24,83  $\pm$  15,01 ng/ $\mu$ L en raíces y 4,00  $\pm$  3,57 ng/ $\mu$ L en tallos.

El análisis de Kruskal-Wallis para las concentraciones de ADN mostró que en bulbos ( $\chi^2$  = 3,8485; p=0,427), hojas ( $\chi^2$  = 1; p=0,910), raíces ( $\chi^2$  = 3,4941; p=0,479) y tallos ( $\chi^2$  = 8,2017; p=0,084) no se encontró diferencias estadísticamente significativas entre las especies. Sin embargo, en flores ( $\chi^2$  = 9,5625; p=0,05) sí se observaron diferencias, lo que sugiere variaciones en la concentración de ADN entre especies en este tejido.

**Cuadro 1.** Concentración de ADN (media ± desviación estándar y mediana) obtenida mediante fluorescencia (Qubit 4) para diferentes tejidos de cinco especies del género *Leucocoryne*. Var: Variación porcentual.

Fuente	Famasia	Concentración de ADN		
Fuente	Especie	Media ± SD	Mediana	
	L. appendiculata	64.30 ± 16.63	66.20 <sup>a</sup>	
	L. coronata	88.40 ± 10.16	88.65 <sup>b</sup>	
Flor	L. dimorphopetala	80.00 ± 9.10	76.10 <sup>ab</sup>	
	L. ixioides	55.25 ± 18.60	55.25 <sup>a</sup>	
	L. macropetala	62.13 ± 15.98	69.50 <sup>a</sup>	
	L. appendiculata	45.03 ± 27.92	46.60 <sup>a</sup>	
	L. coronata	76.24 ± 30.22	86.80 <sup>a</sup>	
Bulbo	L. dimorphopetala	33.87 ± 13.81	36.30 <sup>a</sup>	
	L. ixioides	27.60 ± 8.12	25.00 <sup>a</sup>	
	L. macropetala	45.43 ± 20.36	42.50 <sup>a</sup>	
	L. appendiculata	47.20 ± 45.11	47.20 <sup>a</sup>	
	L. coronata	54.42 ± 23.69	47.40 <sup>a</sup>	
Hoja	L. dimorphopetala	60.70 ± 13.86	68.40 <sup>a</sup>	
	L. ixioides	61.33 ± 18.16	70.80 <sup>a</sup>	
	L. macropetala	50.13 ± 18.87	40.10 <sup>a</sup>	
	L. appendiculata	$9.40 \pm 4.62$	8.50 <sup>a</sup>	
	L. coronata	18.68 ± 12.33	16.80 <sup>a</sup>	
Raíz	L. dimorphopetala	18.00 ± 7.21	18.00 <sup>a</sup>	
	L. ixioides	12.57 ± 5.38	13.20 <sup>a</sup>	
	L. macropetala	24.83 ± 15.01	21.60 <sup>a</sup>	
	L. appendiculata	38.60 ± 27.24	40.04 <sup>b</sup>	
Tallo	L. coronata	21.68 ± 13.52	16.80 <sup>b</sup>	
	L. dimorphopetala	27.00 ± 13.44	21.00 <sup>b</sup>	
	L. ixioides	8.35 ± 2.62	8.35 <sup>ab</sup>	
	L. macropetala	4.00 ± 3.57	3.20 <sup>a</sup>	

Letras distintas indican diferencias significativas entre especies dentro del mismo tejido, determinadas mediante la prueba no paramétrica de Kruskal-Wallis ( $\alpha$  = 0,05).

## Calidad e Integridad de ADN

La calidad del ADN determinada mediante electroforesis reveló variaciones significativas entre los tejidos analizados (**Figura 2**). A priori las flores presentaron las mayores concentraciones de ADN, sin embargo, en términos de calidad, este exhibió una evidente degradación.

El ADN extraído desde bulbos presenta una evidente variabilidad en el peso molecular, especies como *L. appendiculata*, *L. ixioides* y *L. macropetala* mostraron ADN con alto peso molecular en la mayoría de las muestras. Mientras que las especies como *L. coronata* y *L. dimorphopetala*, presentan una elevada degradación.

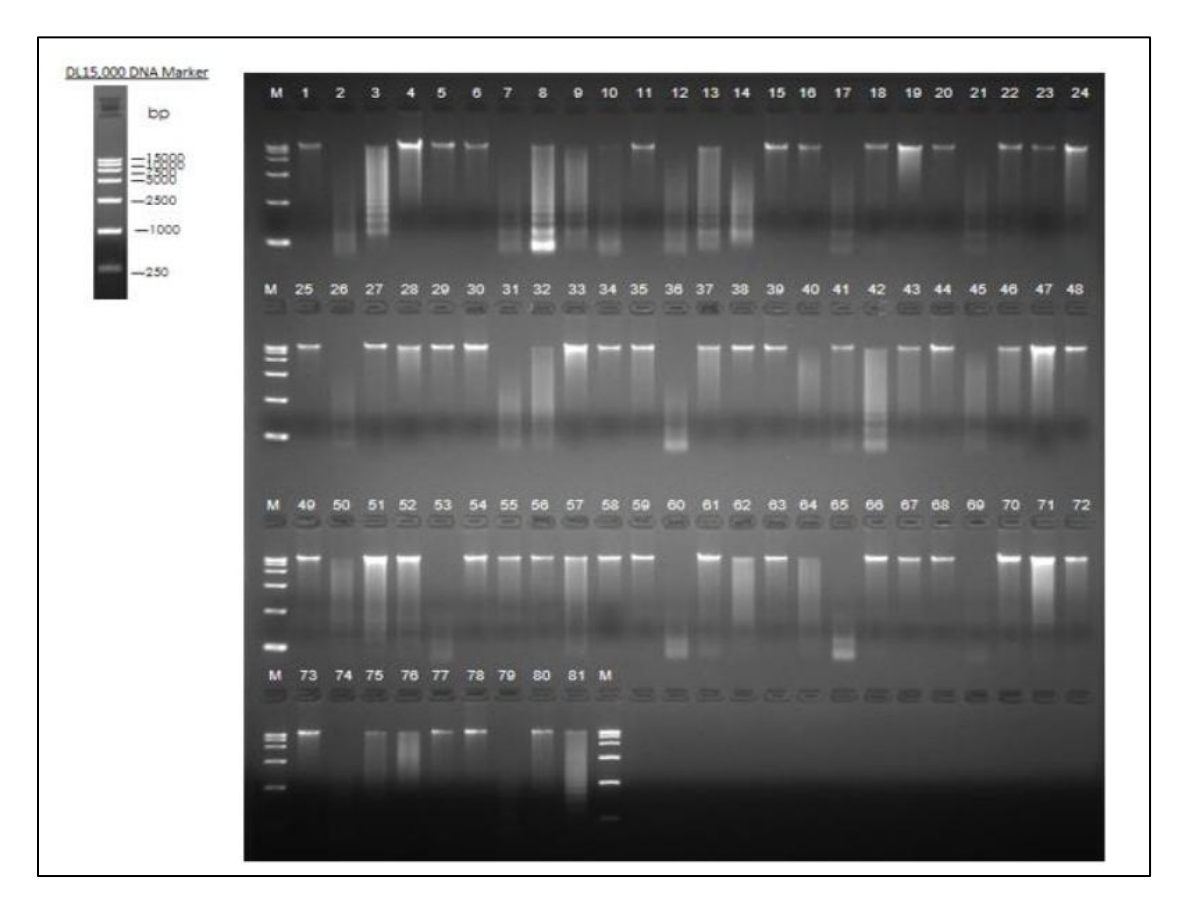
El ADN extraído desde las hojas presentó alto peso molecular y menor degradación en las mayorías de las especies. Solo un ejemplar de la especie *L. coronata* y uno de la especie *L. ixioides*, presentaron una degradación notoria.

En las raíces, el ADN también mostró una calidad aceptable en la mayoría de los casos, considerando que el ADN de este tipo de tejidos a menudo resulta altamente contaminado. Algunas excepciones se observaron en *L. coronata*, *L. appendiculata* y *L. dimorphopetala*, las cuales muestra degradación y/o cantidad insuficiente de ADN.

Finalmente, el ADN extraído desde tallo presentó consistentemente la peor calidad para todas las especies, exhibiendo una degradación severa y bajo peso molecular

En el **Cuadro 2**, se muestra la calidad del ADN extraído en función del índice QC, utilizado para determinar si las muestras cumplen los estándares para secuenciación de lecturas largas de ácidos nucleicos. Para facilitar la visualización se clasificó la calidad en tres categorías: Óptima (a), Riesgo (b) y No apta (c).

En general, los tejidos de hoja y bulbo muestran resultados predominantemente óptimos en la mayoría de las especies, lo que sugiere una mayor estabilidad del ADN en estos tejidos para la secuenciación. Por otra parte, los tejidos de tallo presentan consistentemente una calidad de ADN deficiente, con la mayoría de las muestras clasificadas como "No aptas", independiente de la especie. Los resultados para los tejidos flores y raíces tienden a ser más variables, con muestras en todas las calidades.



**Figura 2.** Control de calidad del ADN de diferentes tejidos de *Leucocoryne spp.* Los pocillos numerados corresponden a muestras de ADN obtenidas de diferentes especies, tejidos y ejemplares (Codificación disponible en **Anexo 1**). M: marcador molecular. (CD Genomics, New York, Estados Unidos)

**Cuadro 2.** Calidad del ADN extraído desde diferentes tejidos de cinco especies de *Leucocoryne* según análisis de integridad y cantidad del ADN. Los números representan los identificadores individuales de las muestras procesadas.

Especie	Individuo	Hoja	Raíz	Tallo	Flor	Bulbo
Leucocoryne coronata	1	1 <sup>(a)</sup>	5 <sup>(a)</sup>	2 <sup>(c)</sup>	4 <sup>(b)</sup>	3 <sup>(c)</sup>
	2	6 <sup>(a)</sup>	10 <sup>(a)</sup>	7 <sup>(c)</sup>	9 <sup>(c)</sup>	8 <sup>(c)</sup>
	3	11 <sup>(a)</sup>	15 <sup>(a)</sup>	12 <sup>(c)</sup>	14 <sup>(c)</sup>	13 <sup>(c)</sup>
	4	31 <sup>(a)</sup>	35 <sup>(a)</sup>	32 <sup>(c)</sup>	34 <sup>(b)</sup>	33 <sup>(c)</sup>
	5	36 <sup>(b)</sup>	39 <sup>(a)</sup>	37 <sup>(c)</sup>		38 <sup>(b)</sup>
Leucocoryne	1	16 <sup>(a)</sup>	20 <sup>(c)</sup>	17 <sup>(c)</sup>	19 <sup>(b)</sup>	18 <sup>(a)</sup>
	2	21 <sup>(a)</sup>	25 <sup>(b)</sup>	22 <sup>(c)</sup>	24 <sup>(a)</sup>	23 <sup>(a)</sup>
appendiculata	3	26 <sup>(a)</sup>	30 <sup>(a)</sup>	27 <sup>(c)</sup>	29 <sup>(b)</sup>	28 <sup>(a)</sup>
Leucocoryne dimorphopetala	1	40 <sup>(a)</sup>	44 <sup>(b)</sup>	41 <sup>(c)</sup>	43 <sup>(c)</sup>	42 <sup>(b)</sup>
	2	45 <sup>(a)</sup>	49 <sup>(a)</sup>	46 <sup>(c)</sup>	48 <sup>(b)</sup>	47 <sup>(b)</sup>
	3	50 <sup>(a)</sup>		51 <sup>(c)</sup>	53 <sup>(c)</sup>	52 <sup>(c)</sup>
1	1	55 <sup>(a)</sup>	59 <sup>(a)</sup>	56	58 <sup>(c)</sup>	57 <sup>(a)</sup>
Leucocoryne ixioides	2	60 <sup>(a)</sup>	64 <sup>(a)</sup>	61 <sup>(c)</sup>	63 <sup>(c)</sup>	62 <sup>(a)</sup>
	3	65 <sup>(c)</sup>	68 <sup>(a)</sup>	66 <sup>(c)</sup>		67 <sup>(a)</sup>
1	1	69 <sup>(a)</sup>	73 <sup>(a)</sup>	70 <sup>(c)</sup>	72 <sup>(c)</sup>	71 <sup>(a)</sup>
Leucocoryne macropetala	2	74 <sup>(a)</sup>	78 <sup>(a)</sup>	75 <sup>(c)</sup>	77 <sup>(c)</sup>	76 <sup>(c)</sup>
	3	79 <sup>(a)</sup>	83 <sup>(a)</sup>	80 <sup>(c)</sup>	82 <sup>(c)</sup>	81 <sup>(a)</sup>

Calidad del ADN: (a) óptimo; (b) riesgo; (c) No apto;

---: No evaluado.

## **DISCUSIÓN**

El género *Leucocoryne*, presenta una complejidad tanto morfológica como citogenética, que le ha permitido evolucionar en variedad de condiciones edafoclimáticas (De la Cuadra *et al.*, 2016; Glade-Vargas *et al.*, 2021). Las variaciones citogenéticas observadas en ciertas poblaciones incluyen la existencia de híbridos naturales con combinaciones intermedias de cromosomas (2n = 14) como *L. coquimbensis var. alba* (Araneda *et al.*, 2004). En cuanto al contenido total de ADN, Sassone *et al.* (2018) estudiaron varias especies de la tribu *Leucocoryneae*, concluyendo que existe una variación significativa de algunas especies, oscilando entre 18,72 y 121,84 picogramos (pg) de ADN. Concretamente el género *Leucocoryne* se reportó un tamaño de 28,9 ± 0,8 pg, siendo una de las mayores en comparación con otros géneros de la tribu. En genomas con una plasticidad elevada, es común el alto contenido de ADN repetitivo, siendo un desafío para el ensamble de secuencias, y reafirma la necesidad de trabajar con plataformas de secuenciación de lecturas largas, pero estas tecnologías requieren al menos 1ng/μl de ADN de alta calidad (Russo *et al.*, 2022; Espinosa *et al.*, 2024).

Al observar los resultados del presente estudio, una tendencia clara se presenta en las especies *L. appendiculata* y *L. coronata*, las cuales mostraron consistentemente las mayores concentraciones de ADN extraído en casi todos los tejidos analizados (**Cuadro 1**). Una posible explicación podría estar relacionada con las características genómicas de estas especies, como el tamaño del genoma, la composición del ADN repetitivo y la organización estructural de los cromosomas.

En cuanto a la extracción de ADN en especies del género *Leucocoryne*, diversos autores han reportado protocolos a partir de hojas frescas, utilizando el método CTAB con modificaciones para mejorar la calidad del ADN (Contreras *et al.*, 2018, 2020). El método descrito por Doyle & Doyle (1987) también aplicado a hojas frescas, permite la realización de estudios filogenéticos entre los géneros de la tribu *Leucocoryneae* (Souza *et al.*, 2016). Sin embargo, estos métodos a menudo generan un ADN oxidado, inadecuado para aplicaciones de lectura larga (Russo *et al.*, 2022). Jara-Arancio *et al.*, (2014) utilizaron el método basado en columnas de DNeasy Plant Kit (Qiagen). Este kit se caracteriza por su rapidez y la obtención de ADN una alta pureza, libre de contaminantes e inhibidores de enzimas, además de no usar extracción orgánica,

sin precipitación con etanol (Qiagen, 2024), sin embargo, también se reporta que existe riesgo de pérdida de ADN durante los lavados con columnas (Russo *et al.*, 2022). Este es el único trabajo donde se ha utilizado el mismo protocolo de este artículo, no reportando la cantidad y/o calidad del ADN obtenido para comparar.

Es importante aclarar, que la relación entre concentración y calidad del ADN no siempre es directamente proporcional, por ejemplo, nuestros resultados posicionan a L. coronata como una de las especies con mayor concentración, sin embargo, al momento de medir la calidad presenta una alta degradación en la mayoría de los tejidos. Una revisión por tejidos muestra que las flores presentan las mayores concentraciones, asimismo también muestran una alta degradación, posiblemente atribuible a metabolitos en el tejido que puedan afectar la estabilidad del ADN. Por lo mismo, los trabajos de genómica funcional en este tipo de tejidos requieren de una optimización del protocolo. En el caso de los bulbos, lo observado es una alta variabilidad entre las especies, este tejido es naturalmente desafiante debido a la alta concentración de polisacáridos o fenoles, particularmente, para las especies L. coronata y L. dimorphopetala se requieren modificaciones que ayuden a mejorar la pureza del ADN. Las hojas por su parte se posicionan como el mejor tejido para obtener un ADN de alto peso molecular y con una integridad óptima para posteriores estudios de secuenciación en la mayoría de las especies. Un tejido cuyos resultados sorprendieron, fueron las raíces, si bien se sabe que en ellas existen una gran cantidad de células nuevas propias del crecimiento radicular, a menudo este tipo de tejidos presenta una alta contaminación, aquí también se observó para L. coronata, L. appendiculata y L. dimorphopetala. Sin embargo, la calidad del ADN los posiciona como candidatos para estudios posteriores de secuenciación. Por último, los tallos como era de esperar presentan consistentemente la peor calidad, mostrando una severa degradación en la mayoría de las especies. Todos los tejidos estaban congelados a -80 °C previo a la extracción, el descongelamiento del tejido también puede contribuir a la fragmentación (Zerpa-Catanho et al., 2021).

La optimización de protocolos para extracción de ADN puede incluir el uso de tampones con agentes quelantes para reducir la interferencia de polisacáridos y fenoles. El uso de PVPP (polivinilpirrolidona) para tejidos ricos en metabolitos secundarios y/o el uso de β-mercaptoetanol para prevenir la oxidación y proteger la integridad del ADN (Contreras *et al.*, 2018).

El análisis efectuado permite establecer directrices claras para obtener ADN de alta calidad en Leucocoryne, maximizando la utilidad de las muestras para estudios moleculares y de conservación genética. Los resultados invitan a adaptar protocolos de extracción en función del tipo de tejido.

## **CONCLUSIONES**

Para estudios genómicos en el género *Leucocoryne*, se recomienda priorizar la extracción de ADN desde hojas, especialmente en especies donde la calidad en bulbos y raíces es inconsistente. Para estudios de genómica funcional existe la necesidad de desarrollar protocolos de extracción específicos para especies que consistentemente presentan menores rendimientos, especialmente en tejidos más complejos como los tallos y raíces.

#### **AGRADECIMIENTOS**

Esta investigación fue desarrollada gracias a la Dirección de la Subgerencia de Medio Ambiente y Comunidades de Chilquinta Transmisión, como parte de su programa ESG, y a la Estrategia de Adaptación al Cambio Climático y Biodiversidad de proyectos energéticos sostenibles, en conjunto con el Programa de Restauración de Ecosistemas de Alto Valor Ecológico, iniciativa financiada por el Ministerio de Agricultura de Chile (MINAGRI), orientada a promover la conservación de la biodiversidad y la recuperación ecológica integral.

#### **REFERENCIAS**

- Araneda, L., Salas, P. & Mansur, L. (2004). Chromosome numbers in the Chilean endemic genus *Leucocoryne* (Huilli).

  Journal of the American Society for Horticultural Science, 129(1), 77–80.

  https://doi.org/10.21273/JASHS.129.1.0077
- Contreras, R., Aguayo, F., Guerra, A., Tapia, F. & Porcile, V. (2018). Genetic characterization of centennial olive trees from northern Chile: The case of extra virgin olive oil from Huasco in the process of designation of origin. Chilean journal of agricultural & animal sciences 34:126 139. https://doi.org/10.4067/s0719-38902018005000402
- Contreras, R., Van den Brink, L., Sepúlveda, B., Aguayo, F. & Porcile, V. (2020). Phylogenetic relationships of plant species from the flowering desert of the Atacama Region. Bol. Latinoam Caribe Plant Med Aromat, 19 (3): 300-313.
- Cosgrove, D.J. (2024). Structure and growth of plant cell walls. Nature Reviews Molecular Cell Biology, 25(5): 340-358. https://doi.org/10.1038/s41580-023-00691-y
- De la Cuadra, C., Vidal, A.K., Lefimil, S. & Mansur, L. (2016). Temperature effect on seed germination in the genus Leucocoryne (Amaryllidaceae). HortScience, 51(4): 412-415. https://doi.org/10.21273/HORTSCI.51.4.412
- **Doyle. J.J. & Doyle, J.L. (1987).** A Rapid DNA Isolation Procedure for Small Quantities of Fresh Leaf Tissue. Phytochemical Bulletin, 19(1): 11-15.
- Espinosa, E., Bautista, R., Larrosa, R. & Plata, O. (2024). Advancements in long-read genome sequencing technologies and algorithms. Genomics, 110842. Contents lists available at ScienceDirect Genomics journal homepage: www.elsevier.com/locate/ygeno https://doi.org/10.1016/j.ygeno.2024.110842
- Glade-Vargas, N.S., Rojas, C., Jara-Arancio, P., Vidal, P., Arroyo, M.T.K. & Hinojosa, L.F. (2021). Biogeography of Argylia D. Don (Bignoniaceae): Diversification, Andean Uplift and Niche Conservatism. Front. Plant Sci. 12:724057. https://doi.org/10.3389/fpls.2021.724057
- Jara-Arancio, P., Jara-Seguel, P., Palma-Rojas, C., Arancio, G. & Moreno, R. (2012). Karyological study in fifteen Leucocoryne taxa (Alliaceae). Biologia 67(2): 289-295, https://doi.org/10.2478/s11756-012-0001-5
- Jara-Arancio, P., Arroyo, M. Guerrero, P., Hinojosa, L. Arancio, G. & Méndez, M. (2014). Phylogenetic perspectives on biome shifts in *Leucocoryne* (*Alliaceae*) in relation to climatic niche evolution in western South America. Journal of Biogeography, N° 41. Pp: 328-338. https://doi.org/10.1111/jbi.12186
- Jin, S., Han, Z., Hu, Y., Si, Z., Dai, F., He, L., Cheng, Y. *et al.* (2023). Structural variation (SV)-based pan-genome and GWAS reveal the impacts of SVs on the speciation and diversification of allotetraploid cottons. Molecular Plant. *https://doi.org/10.1016/j.molp.2023.02.004*
- Mansur, L., Gonzalez, M., Rojas, I. & Salas, P. (2004). Self-incompatibility in the Chilean Endemic Genus Leucocoryne Lindley. Journal of the American Society for Horticultural Science, 129(6): 836–838. https://doi.org/10.21273/JASHS.129.6.0836
- Milavec, M., Cleveland, M.H., Bae, K., Wielgosz, R.I., Vonsky, M. & Huggett, J.F. (2021). Metrological framework to support accurate, reliable, and reproducible nucleic acid measurements. Analytical and Bioanalytical Chemistry, 414(2): 791–806. https://doi.org/10.1007/s00216-021-03712-x
- Mondragon-Jacobo, C., Doudareva, N. & Bordelon, B.P. (2000). DNA extraction from several cacti. Hort. Science, 35(6): 1124–1126. https://doi.org/10.21273/HORTSCI.35.6.1124
- QIAGEN. (2024). DNeasy® Plant Handbook: DNeasy Plant Mini Kit, DNeasy Plant Maxi Kit, DNeasy 96 Plant Kit. Para la purificación de ADN celular total de células y tejidos vegetales o hongos. En: https://www.qiagen.com
- Rodríguez, R., Marticorena, C., Alarcón, D., Baeza, C., Cavieres, L., Finot, V.L., Fuentes, N. et al. (2018). Catálogo de las plantas vasculares de Chile. Gayana Botánica 75(1): 1-430. https://doi.org/10.4067/S0717-66432018000100001

- Russo, A., Mayjonade, B., Frei, D., Potente, G., Kellenberger, R.T., Frachon, L., Copetti, D. *et al.* (2022). Low-Input High-Molecular-Weight DNA Extraction for Long-Read Sequencing from Plants of Diverse Families. Frontiers in Plant Science,13:883897. https://doi.org/10.3389/fpls.2022.883897
- Salas, P. & Mansur, L. (2004). Gene Flow between parents with different ploidy levels in a natural population of Leucocoryne Lindley. Journal of the American Society for Horticultural Science, 129(6): 836-838. https://doi.org/10.21273/JASHS.129.6.0833
- Sassone, A.B., López, A., Hojsgaard, D.H. & Giussani, L.M. (2018). A novel indicator of karyotype evolution in the tribe Leucocoryneae (Allioideae, Amaryllidaceae). Journal of Plant Research, 131(2): 211-223. https://doi.org/10.1007/s10265-017-0987-4
- Saxena, R.K., Edwards, D. & Varshney, R.K. (2014). Structural variations in plant genomes. Briefings in Functional Genomics, 13(4): 296-307. https://doi.org/10.1093/bfgp/elu016
- Souza, G., Crosa, O., Speranza, P. & Guerra, M. (2016). Phylogenetic relations in tribe *Leucocoryneae* (*Amaryllidaceae*, *Allioideae*) and the validation of *Zoellnerallium* based on DNA sequences and cytomolecular data. Botanical Journal of the Linnean Society, N° 182. Pp: 811-824. https://doi.org/10.1111/boj.12484
- Yuan, Y., Bayer, P.E., Batley, J. & Edwards, D. (2021). Current status of structural variation studies in plants. Plant Biotechnology Journal, 19(10): 2153-2163. https://doi.org/10.1111/pbi.13646
- Zerpa-Catanho, D., Zhang, X., Song, J., Hernandez, A.G. & Ming, R. (2021). Ultra-long DNA molecule isolation from plant nuclei for ultra-long read genome sequencing. STAR Protocols, 2(1):100343. https://doi.org/10.1016/j.xpro.2021.100343

## Anexo 1

Identificación de muestras y correspondencia con los pocillos de electroforesis en gel. Cada ID representa un espécimen de *Leucocoryne spp.* indicando el tejido específico analizado.

ID	Especie	Tejido
1	Leucocoryne coronata	hoja
2	Leucocoryne coronata	tallo
3	Leucocoryne coronata	bulbo
4	Leucocoryne coronata	flor
5	Leucocoryne coronata	raíz
6	Leucocoryne coronata	hoja
7	Leucocoryne coronata	tallo
8	Leucocoryne coronata	bulbo
9	Leucocoryne coronata	flor
10	Leucocoryne coronata	raíz
11	Leucocoryne coronata	hoja
12	Leucocoryne coronata	tallo
13	Leucocoryne coronata	bulbo
14	Leucocoryne coronata	flor
15	Leucocoryne coronata	raíz
16	Leucocoryne appendiculata	hoja
17	Leucocoryne appendiculata	tallo
18	Leucocoryne appendiculata	bulbo
19	Leucocoryne appendiculata	flor
20	Leucocoryne appendiculata	raíz
21	Leucocoryne appendiculata	tallo
22	Leucocoryne appendiculata	bulbo
23	Leucocoryne appendiculata	flor
24	Leucocoryne appendiculata	raíz
25	Leucocoryne appendiculata	hoja
26	Leucocoryne appendiculata	tallo
27	Leucocoryne appendiculata	bulbo
28	Leucocoryne appendiculata	flor
29	Leucocoryne appendiculata	raíz
30	Leucocoryne coronata	hoja
31	Leucocoryne coronata	tallo
32	Leucocoryne coronata	bulbo
33	Leucocoryne coronata	flor
34	Leucocoryne coronata	raíz
35	Leucocoryne coronata	hoja
36	Leucocoryne coronata	tallo
37	Leucocoryne coronata	bulbo
38	Leucocoryne coronata	<u>raíz</u>
39	Leucocoryne dimorphopetala	hoja
40	Leucocoryne dimorphopetala	tallo
41	Leucocoryne dimorphopetala	bulbo

		<b>-</b>
ID	Especie	Tejido
42	Leucocoryne dimorphopetala	flor
43	Leucocoryne dimorphopetala	raíz
44	Leucocoryne dimorphopetala	hoja
45	Leucocoryne dimorphopetala	tallo
46	Leucocoryne dimorphopetala	bulbo
47	Leucocoryne dimorphopetala	flor
48	Leucocoryne dimorphopetala	raíz
49	Leucocoryne dimorphopetala	hoja
50	Leucocoryne dimorphopetala	tallo
51	Leucocoryne dimorphopetala	bulbo
52	Leucocoryne dimorphopetala	flor
53	Leucocoryne ixioides	hoja
54	Leucocoryne ixioides	tallo
55	Leucocoryne ixioides	bulbo
56	Leucocoryne ixioides	flor
57	Leucocoryne ixioides	raíz
58	Leucocoryne ixioides	hoja
59	Leucocoryne ixioides	tallo
60	Leucocoryne ixioides	bulbo
61	Leucocoryne ixioides	flor
62	Leucocoryne ixioides	raíz
63	Leucocoryne ixioides	hoja
64	Leucocoryne ixioides	tallo
65	Leucocoryne ixioides	bulbo
66	Leucocoryne ixioides	raíz
67	Leucocoryne macropetala	hoja
68	Leucocoryne macropetala	tallo
69	Leucocoryne macropetala	bulbo
70	Leucocoryne macropetala	flor
71	Leucocoryne macropetala	raíz
72	Leucocoryne macropetala	hoja
73	Leucocoryne macropetala	tallo
74	Leucocoryne macropetala	bulbo
75	Leucocoryne macropetala	flor
76	Leucocoryne macropetala	raíz
77	Leucocoryne macropetala	hoja
78	Leucocoryne macropetala	tallo
79	Leucocoryne macropetala	bulbo
80	Leucocoryne macropetala	flor
81	Leucocoryne macropetala	raíz